

АНАЛИЗ ТЕРМОГРАВИТАЦИОННОЙ КОНВЕКЦИИ ВЯЗКОЙ ЖИДКОСТИ В ПОРИСТОЙ ПОЛОСТИ С ИСПОЛЬЗОВАНИЕМ РАЗЛИЧНЫХ ТРАНСПОРТНЫХ МОДЕЛЕЙ ДЛЯ ПОРИСТОГО МАТЕРИАЛА

С.Х.К. Лэ

Научный руководитель: М.А. Шеремет, д.ф.-м.н., доцент
Томский политехнический университет
E-mail: lexuanhoangkhoa@gmail.com

Введение

Развитие энергетики и электроники ведет к повышению тепловых нагрузок различных элементов оборудования, входящего в состав энергетических систем [1–3]. Одним из способов надежного теплоотвода является применение различного рода интенсификаторов [4–6], а также пористых вставок [7, 8]. Прогнозирование их работы является актуальной задачей при создании стабильных систем отвода теплоты.

Постановка задачи

В настоящей работе моделируются режимы естественной конвекции в замкнутой пористой полости (рис. 1) с использованием различных моделей для описания транспортных процессов внутри пористой структуры.

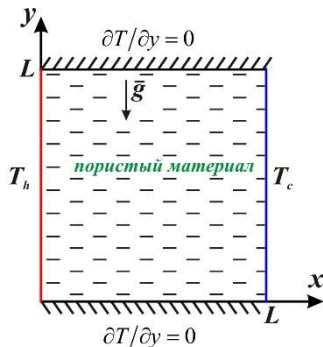


Рис. 1. Область решения задачи

Рассматривается квадратная область, заполненная пористым материалом, с изотермическими вертикальными стенками и адиабатическими горизонтальными стенками. Внутри полости циркулирует ньютоновская жидкость, удовлетворяющая приближению Буссинеска. Считается, что режим течения и теплопереноса является ламинарным.

Математическая модель

Для описания гидродинамики и теплопереноса внутри пористой полости используются дифференциальные уравнения, записанные в безразмерных преобразованных переменных «функция тока – завихренность – температура», и три транспортные модели для пористой среды (модель Дарси, модель Дарси–Бринкмана и модель Дарси–Бринкмана–Форхгеймера). Для этих трех моделей уравнение энергии является общим:

$$\eta \frac{\partial \Theta}{\partial \tau} + \frac{\partial \Psi}{\partial Y} \frac{\partial \Theta}{\partial X} - \frac{\partial \Psi}{\partial X} \frac{\partial \Theta}{\partial Y} = \frac{\alpha_{pf}}{\sqrt{Ra \cdot Pr}} \nabla^2 \Theta. \quad (1)$$

Здесь X, Y – безразмерные декартовы координаты; Θ – безразмерная температура; Ψ – безразмерная функция тока; Ra – число Рэлея; Pr – число Прандтля; η – относительная объемная теплоемкость; α_{pf} – относительный коэффициент температуропроводности.

Уравнение Пуассона для функции тока в случае нелинейных моделей для пористой среды (Дарси–Бринкмана и Дарси–Бринкмана–Форхгеймера) имеет следующий вид:

$$\frac{\partial^2 \Psi}{\partial X^2} + \frac{\partial^2 \Psi}{\partial Y^2} = -\Omega \quad (2)$$

Здесь Ω – безразмерная завихренности скорости.

В случае же линейной модели Дарси уравнение Пуассона для функции тока может быть записано в виде:

$$\frac{\partial^2 \Psi}{\partial X^2} + \frac{\partial^2 \Psi}{\partial Y^2} = -Da \sqrt{\frac{Ra}{Pr}} \frac{\partial \Theta}{\partial X} \quad (3)$$

Оставшееся уравнение дисперсии завихренности имеет следующий вид:

$$\begin{aligned} &\text{– для модели Дарси–Бринкмана:} \\ \varepsilon \frac{\partial \Omega}{\partial \tau} + \frac{\partial \Psi}{\partial Y} \frac{\partial \Omega}{\partial X} - \frac{\partial \Psi}{\partial X} \frac{\partial \Omega}{\partial Y} &= \varepsilon \sqrt{\frac{Pr}{Ra}} \left(\frac{\partial^2 \Omega}{\partial X^2} + \frac{\partial^2 \Omega}{\partial Y^2} - \right. \\ &\left. - \varepsilon \frac{\Omega}{Da} \right) + \varepsilon^2 \frac{\partial \Omega}{\partial X} \end{aligned} \quad (4)$$

– для модели Дарси–Бринкмана–Форхгеймера:

$$\begin{aligned} \varepsilon \frac{\partial \Omega}{\partial \tau} + \frac{\partial \Psi}{\partial Y} \frac{\partial \Omega}{\partial X} - \frac{\partial \Psi}{\partial X} \frac{\partial \Omega}{\partial Y} &= \varepsilon \sqrt{\frac{Pr}{Ra}} \left(\frac{\partial^2 \Omega}{\partial X^2} + \frac{\partial^2 \Omega}{\partial Y^2} - \right. \\ &\left. - \varepsilon \frac{\Omega}{Da} \right) + \varepsilon^2 \frac{\partial \Omega}{\partial X} - \frac{1.75}{\sqrt{150}} \sqrt{\frac{\varepsilon}{Da}} \times \\ &\times \sqrt{\left(\frac{\partial \Psi}{\partial X} \right)^2 + \left(\frac{\partial \Psi}{\partial Y} \right)^2} \left\{ \Omega - \right. \end{aligned} \quad (5)$$

$$\left. - \frac{\left(\frac{\partial \Psi}{\partial X} \right)^2 \frac{\partial^2 \Psi}{\partial X^2} + \left(\frac{\partial \Psi}{\partial Y} \right)^2 \frac{\partial^2 \Psi}{\partial Y^2} + 2 \frac{\partial \Psi}{\partial X} \frac{\partial \Psi}{\partial Y} \frac{\partial^2 \Psi}{\partial X \partial Y}}{\left(\frac{\partial \Psi}{\partial X} \right)^2 + \left(\frac{\partial \Psi}{\partial Y} \right)^2} \right\}$$

В результате применение модели Дарси ограничивается уравнениями (1) и (3), модели Дарси–Бринкмана – уравнениями (1), (2) и (4), а

модели Дарси–Бринкмана–Форхгеймера – уравнениями (1), (2) и (5).

Граничные условия для сформулированных дифференциальных уравнений в частных производных запишем в безразмерном виде:

- на горизонтальных стенках:
 $\Psi = 0, \partial\Psi/\partial Y = 0, \partial\Theta/\partial Y = 0,$
- на левой стенке $X = 0$:
 $\Psi = 0, \partial\Psi/\partial X = 0, \Theta = 1,$
- на правой стенке $X = 1$:
 $\Psi = 0, \partial\Psi/\partial X = 0, \Theta = 0$

Сформулированная краевая задача математической физики решались методом конечных разностей. Значения завихренности скорости на стенках определялись на основе соотношения второго порядка точности [9, 10]. Для численного решения уравнений параболического типа (1), (4) и (5) применялась локально-одномерная схема Самарского. Аппроксимация уравнений эллиптического типа (2) и (3) проводилась на основе центральных разностей. Разработанные алгоритмы были протестированы на тестовых задачах, а также на множестве сеток.

Результаты

Моделирование было проведено в широком диапазоне изменения определяющих параметров: $10^4 \leq Ra \leq 10^6$ и $10^{-4} \leq Da \leq 10^{-2}$. В результате исследований установлены корреляционные соотношения для среднего числа Нуссельта на нагреваемой стенке для рассмотренных моделей пористой среды:

– для модели Дарси:

$$\overline{Nu} = 0.389 \cdot Ra^{0.501} \cdot Da^{0.501}$$

– для моделей Дарси–Бринкмана и Дарси–Бринкмана–Форхгеймера:

$$\overline{Nu} = 0.181 \cdot Ra^{0.347} \cdot Da^{0.211}$$

Представленные зависимости отражают получение завышенных значений интенсивности теплообмена в случае линейной модели Дарси, когда рассматривается течение с умеренными скоростями и проницаемостью среды. В случае же низких значения чисел Рэлея и Дарси расхождения между моделями будут минимальны, что позволяет применять модель Дарси для расчетов. Также следует отметить, что в рассматриваемом диапазоне изменения чисел Рэлея и Дарси нелинейные модели отражают сопоставимые результаты по интегральному теплообмену.

Заключение

Было проведено математическое моделирование режимов термогравитационной конвекции в пористой полости с использованием линейной и нелинейных моделей гидродинамики внутри пористой среды. Получены корреляционные соотношения для среднего числа

Нуссельта. Показаны особенности учета нелинейности в случае умеренного течения внутри полости.

Список использованных источников

1. Nikolaenko Yu.E., Alekseik Ye.S., Kozak D.V., Nikolaienko T.Yu. Research on two-phase heat removal devices for power electronics // *Thermal Science and Engineering Progress*. – 2018. – Vol. 8. – P. 418–425.
2. Wu R., Fan Y., Hong T., Zou H., Hu R., Luo X. An immersed jet array impingement cooling device with distributed returns for direct body liquid cooling of high power electronics // *Applied Thermal Engineering*. – 2019. – Vol. 162. – P. 114259.
3. Bahiraei M., Heshmatian S. Electronics cooling with nanofluids: A critical review // *Energy Conversion and Management*. – 2018. – Vol. 172. – P. 438–456.
4. Chen H.T., Lin M.C., Chang J.R. Numerical and experimental studies of natural convection in a heated cavity with a horizontal fin on a hot sidewall // *International Journal of Heat and Mass Transfer*. – 2018. – Vol. 124. – P. 1217–1229.
5. Melka B., Smolka J., Hetmanczyk J., Lasek P. Numerical and experimental analysis of heat dissipation intensification from electric motor // *Energy*. – 2019. – Vol. 182. – P. 269–279.
6. Al-Maghalseha M., Mahkamov K. Methods of heat transfer intensification in PCM thermal storage systems: Review paper // *Renewable and Sustainable Energy Reviews*. – 2018. – Vol. 92. – P. 62–94.
7. Asl A.K., Hossainpour S., Rashidi M.M., Sheremet M.A., Yang Z. Comprehensive investigation of solid and porous fins influence on natural convection in an inclined rectangular enclosure // *International Journal of Heat and Mass Transfer*. – 2019. – Vol. 133. – P. 729–744.
8. Astanina M.S., Rashidi M.M., Sheremet M.A., Lorenzini G. Effect of porous insertion on convective energy transport in a chamber filled with a temperature-dependent viscosity liquid in the presence of a heat source term // *International Journal of Heat and Mass Transfer*. – 2019. – Vol. 144. – P. 118530.
9. Роуч П. Вычислительная гидродинамика. – М.: Мир, 1980. – 616 с.
10. Пасконов В.М., Полежаев В.И., Чудов Л.А. Численное моделирование процессов тепло- и массообмена. – М.: Наука, 1984. – 288 с.